

1. — On réalise un bobinage en enroulant sur un tronc de cône, jointivement suivant la génératrice, N spires d'un fil de cuivre de diamètre a et de résistivité ρ . Le tronc de cône de sommet S , de demi-angle au sommet α , est caractérisé par les rayons r_1 et $r_2 > r_1$ de ses deux bases.

Chaque spire est repérée par sa cote z qui mesure la distance qui sépare son centre de S . On désigne par r le rayon de la spire située à la cote z .

Exprimer le nombre N de spires qui constituent le bobinage en fonction de r_1, r_2, a et α .

- a) $N = \frac{r_2 - r_1}{a \cos \alpha}$ b) $N = \frac{r_2 - r_1}{a \tan \alpha}$
 c) $N = \frac{r_2 + r_1}{2a \cos \alpha}$ d) $N = \frac{r_2 - r_1}{a \sin \alpha}$

2. — On désigne par dN le nombre de spires dont la cote est comprise entre z et $z + dz$. On considère que ces dN spires ont la même circonférence et qu'elles créent le même champ magnétique. Exprimer dN .

- a) $dN = \frac{dz}{a \cos \alpha}$ b) $dN = \frac{dz}{a \sin \alpha}$
 c) $dN = \frac{dz}{a \tan \alpha}$ d) $dN = \frac{dz}{2a \sin \alpha}$

3. — La résistance R d'un fil de résistivité ρ , de section s et de longueur ℓ est donnée par la relation : $R = \rho \ell / s$. Calculer R .

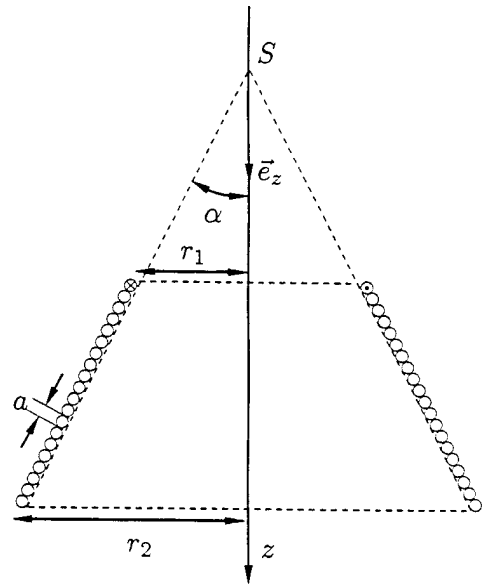
- a) $R = \rho \frac{r_2^2 - r_1^2}{a^3 \cos \alpha}$ b) $R = 4\rho \frac{r_2^2 - r_1^2}{a^3 \sin \alpha}$ c) $R = 2\rho \frac{r_2^2 - r_1^2}{a^3 \tan \alpha}$ d) $R = \rho \frac{r_2^2 + r_1^2}{2a^3 \cos \alpha}$

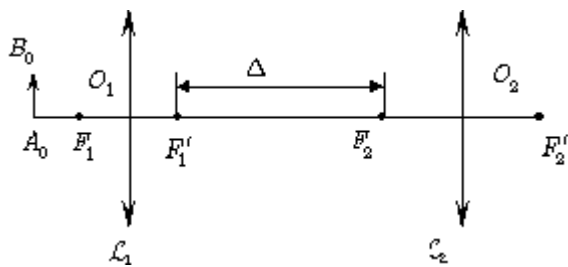
4. — Le bobinage est parcouru par un courant I dans le sens représenté sur la figure ci-dessus. On désigne par μ_0 la perméabilité du vide. Calculer le champ magnétique \vec{B}_1 créé en S par une spire de rayon r .

- a) $\vec{B}_1 = \frac{\mu_0 I}{2r} \sin^3 \alpha \vec{e}_z$ b) $\vec{B}_1 = \frac{\mu_0 I}{r} \sin^3 \alpha \vec{e}_z$ c) $\vec{B}_1 = \frac{\mu_0 I}{2\pi r} \sin^3 \alpha \vec{e}_z$ d) $\vec{B}_1 = \frac{\mu_0 I}{4\pi r} \sin^3 \alpha \vec{e}_z$

5. — En déduire le champ magnétique créé en S par la totalité du bobinage.

- a) $\vec{B} = \frac{\mu_0 I \sin^3 \alpha}{2\pi a} \ln \frac{r_2 - r_1}{r_2 + r_1} \vec{e}_z$ b) $\vec{B} = \frac{\mu_0 I \sin^3 \alpha}{2\pi(r_2 - r_1)} \ln \frac{r_2}{r_1} \vec{e}_z$
 c) $\vec{B} = \frac{\mu_0 I \sin^3 \alpha}{2a} \ln \frac{r_2}{r_1} \vec{e}_z$ d) $\vec{B} = \frac{\mu_0 I \sin^2 \alpha}{4\pi(r_2 + r_1)} \ln \frac{r_2}{r_1} \vec{e}_z$





6. — Un microscope est constitué d'un objectif et d'un oculaire que l'on peut assimiler à deux lentilles minces convergentes \mathcal{L}_1 et \mathcal{L}_2 . Le foyer image F_1' de \mathcal{L}_1 et le foyer objet F_2 de \mathcal{L}_2 sont séparés par une distance $\Delta = 16$ cm. L'objectif \mathcal{L}_1 a une distance focale image $f_1' = 4$ mm. Un observateur dont l'œil est normal et accommodé à l'infini, regarde un objet A_0B_0 à travers l'instrument (cf. figure). Calculer, dans ces conditions, la distance $d_0 = \overline{O_1A_0}$ de l'objet au centre optique de \mathcal{L}_1 pour qu'une image nette se forme sur la rétine.

- a) $d_0 = -3,5$ mm
- b) $d_0 = -4,1$ mm
- c) $d_0 = -5,2$ mm
- d) $d_0 = -7,3$ mm

7. — Calculer le grandissement transversal γ_{ob} de l'objectif.

- a) $\gamma_{ob} = -40$
- b) $\gamma_{ob} = -30$
- c) $\gamma_{ob} = -20$
- d) $\gamma_{ob} = -25$

8. — On désigne par $d_m = 25$ cm la distance minimale de vision distincte d'un œil normal. On définit le grossissement commercial G d'un instrument optique par le rapport $G = \frac{\alpha_i}{\alpha_o}$, où α_i est l'angle sous lequel un œil normal accommodant à l'infini voit l'objet à travers l'instrument et α_o l'angle sous lequel l'objet est vu à l'œil nu lorsqu'il est placé à la distance minimale de vision distincte.

Déterminer le grossissement commercial G_{oc} de l'oculaire en fonction de f_2' et d_m .

- a) $G_{oc} = -\frac{d_m - f_2'}{f_2'}$
- b) $G_{oc} = \frac{d_m + f_2'}{f_2'}$
- c) $G_{oc} = \frac{d_m}{d_m + f_2'}$
- d) $G_{oc} = \frac{d_m}{f_2'}$

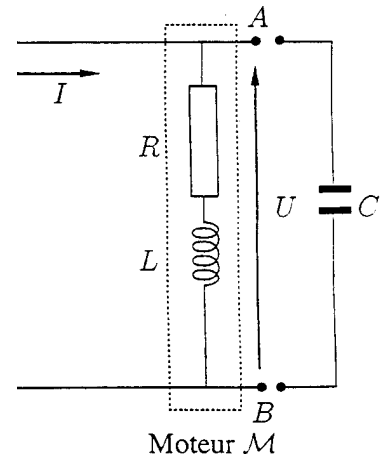
9. — Sachant que le grossissement commercial de l'oculaire vaut $G_{oc} = 10$, calculer le grossissement commercial G_m du microscope.

- a) $G_m = -2000$
- b) $G_m = -300$
- c) $G_m = -200$
- d) $G_m = -400$

10. — On définit la puissance P du microscope par le rapport $P = \alpha_i / \overline{A_0B_0}$ de la dimension angulaire α_i de l'objet vu à travers l'instrument par un œil normal accommodant à l'infini sur la dimension réelle $\overline{A_0B_0}$ de cet objet. Calculer P .

- a) $P = 3000 \delta$
- b) $P = 1600 \delta$
- c) $P = 1000 \delta$
- d) $P = 500 \delta$

11. — Un moteur \mathcal{M} équivalent à un résistor de résistance R associé en série avec une bobine de coefficient d'auto-inductance L est alimenté en courant alternatif sinusoïdal de fréquence 50 Hz par un fil de résistance négligeable (cf. figure ci-contre). Le moteur consomme une puissance moyenne $P_M = 4,4 \text{ kW}$ et son facteur de puissance est égal à 0,6. On mesure entre ses bornes A et B une tension de valeur efficace $U = 220 \text{ V}$.



Calculer le courant efficace I circulant dans la ligne.

- a) $I = 12,5 \text{ A}$ b) $I = 27,2 \text{ A}$
 c) $I = 42,6 \text{ A}$ d) $I = 33,3 \text{ A}$

12. — Calculer R .

- a) $R = 4 \Omega$ b) $R = 8 \Omega$
 c) $R = 2 \Omega$ d) $R = 12 \Omega$

13. — Calculer L .

- a) $L = 7 \text{ mH}$ b) $L = 12 \text{ mH}$ c) $L = 17 \text{ mH}$ d) $L = 52 \text{ mH}$

14. — Pour relever le facteur de puissance de l'installation, on connecte entre les bornes A et B un condensateur de capacité C . La tension mesurée aux bornes du moteur a toujours la valeur $U = 220 \text{ V}$.

Calculer la plus petite valeur de C pour que le nouveau facteur de puissance soit égal à 0,9.

- a) $C = 246 \mu\text{F}$ b) $C = 354 \mu\text{F}$ c) $C = 192 \mu\text{F}$ d) $C = 53 \mu\text{F}$

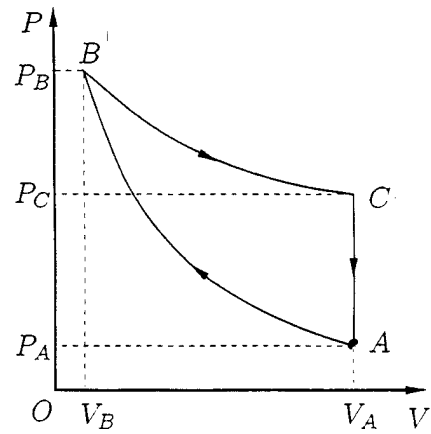
15. — Calculer la puissance moyenne P'_M absorbée par le moteur.

- a) $P'_M = 2,3 \text{ kW}$ b) $P'_M = 4,4 \text{ kW}$ c) $P'_M = 7,8 \text{ kW}$ d) $P'_M = 5,3 \text{ kW}$

16. — Calculer le courant I' circulant dans la ligne.

- a) $I' = 12,5 \text{ A}$ b) $I' = 53,4 \text{ A}$ c) $I' = 33,3 \text{ A}$ d) $I' = 22,2 \text{ A}$

17. — Une masse constante de gaz parfait, dont le rapport des capacités thermiques à pression et volume constants est $\gamma = 1,4$ parcourt le cycle représenté sur le schéma de la figure ci-contre. Le gaz initialement dans l'état d'équilibre thermodynamique A caractérisé par une pression $P_A = 10^5 \text{ Pa}$, une température $T_A = 144,4 \text{ K}$ et un volume $V_A = 4,14 \cdot 10^{-4} \text{ m}^3$ subit une évolution isentropique qui l'amène à la température $T_B = 278,8 \text{ K}$.



Calculer la pression P_B du gaz dans ce nouvel état d'équilibre B.

- a) $P_B = 10^6 \text{ Pa}$
- b) $P_B = 5,2 \cdot 10^5 \text{ Pa}$
- c) $P_B = 12,7 \cdot 10^6 \text{ Pa}$
- d) $P_B = 3,5 \cdot 10^4 \text{ Pa}$

18. — Calculer V_B .

- a) $V_B = 3,7 \cdot 10^{-3} \text{ m}^3$
- b) $V_B = 1,4 \cdot 10^{-3} \text{ m}^3$
- c) $V_B = 0,8 \cdot 10^{-4} \text{ m}^3$
- d) $V_B = 2,3 \cdot 10^{-5} \text{ m}^3$

19. — Le gaz est mis en contact avec une source à la température T_B et subit une détente isotherme réversible qui ramène son volume à sa valeur initiale V_A .

Calculer la valeur P_C de la pression dans ce nouvel état d'équilibre C.

- a) $P_C = 0,27 \cdot 10^5 \text{ Pa}$
- b) $P_C = 1,72 \cdot 10^4 \text{ Pa}$
- c) $P_C = 1,35 \cdot 10^5 \text{ Pa}$
- d) $P_C = 1,93 \cdot 10^5 \text{ Pa}$

20. — Calculer la variation d'entropie ΔS_{BC} du gaz au cours de son évolution isotherme BC.

- a) $\Delta S_{BC} = 3,42 \text{ J} \cdot \text{K}^{-1}$
- b) $\Delta S_{BC} = 0,471 \text{ J} \cdot \text{K}^{-1}$
- c) $\Delta S_{BC} = -7,17 \text{ J} \cdot \text{K}^{-1}$
- d) $\Delta S_{BC} = 12,14 \text{ J} \cdot \text{K}^{-1}$

21. — Le gaz dans l'état d'équilibre C est alors mis en contact avec une source à la température T_A tandis que son volume est maintenu constant à la valeur V_A .

Calculer la variation d'entropie ΔS_{CA} du gaz au cours de cette évolution isochore.

- a) $\Delta S_{CA} = 12,6 \text{ J} \cdot \text{K}^{-1}$
- b) $\Delta S_{CA} = -15,3 \text{ J} \cdot \text{K}^{-1}$
- c) $\Delta S_{CA} = 7,17 \text{ J} \cdot \text{K}^{-1}$
- d) $\Delta S_{CA} = -0,471 \text{ J} \cdot \text{K}^{-1}$

22. — Calculer la quantité de chaleur Q_{CA} échangée avec la source.

- a) $Q_{CA} = -96,3 \text{ J}$
- b) $Q_{CA} = -12,6 \text{ J}$
- c) $Q_{CA} = -7,32 \text{ J}$
- d) $Q_{CA} = 12,9 \text{ J}$

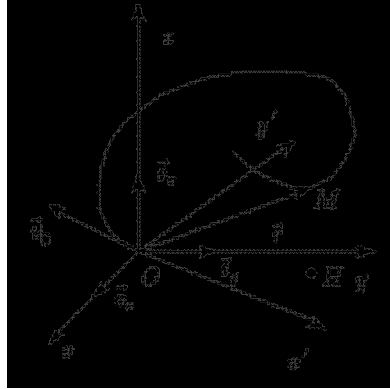
23. — En déduire la valeur S_{CA}^c de l'entropie créée au cours de l'évolution isochore.

- a) $S_{CA}^c = 15,2 \text{ J} \cdot \text{K}^{-1}$
- b) $S_{CA}^c = -0,256 \text{ J} \cdot \text{K}^{-1}$
- c) $S_{CA}^c = 0 \text{ J} \cdot \text{K}^{-1}$
- d) $S_{CA}^c = 0,196 \text{ J} \cdot \text{K}^{-1}$

24. — On peut donc conclure que l'évolution est :

- a) monotherme réversible
- b) monotherme irréversible
- c) isotherme irréversible
- d) impossible

25. — Une particule chargée M de masse m et de charge q est lancée à l'origine O d'un repère d'espace $\mathcal{R}(Oxyz)$ avec une vitesse initiale \vec{v}_0 contenue dans le plan zOx : $\vec{v}_0 = v_{0x}\vec{e}_x + v_{0z}\vec{e}_z$. Cette particule est soumise à l'action d'un champ magnétique $\vec{B} = B\vec{e}_z$ uniforme et constant, dirigé suivant l'axe Oz et qui règne dans tout l'espace. On désigne par H la projection orthogonale de M sur le plan xOy .



On considère un second repère d'espace $\mathcal{R}'(Ox'y'z')$, de même origine O et de même axe Oz que \mathcal{R} . Ce repère est animé d'un mouvement de rotation autour de l'axe Oz avec une vitesse angulaire $\vec{\Omega} = \Omega\vec{e}_z$ constante.

On désigne par \vec{v} la vitesse de la particule dans \mathcal{R} . Donner l'expression de la force magnétique de Lorentz \vec{F}_L qui s'exerce sur elle dans \mathcal{R} .

- a) $\vec{F}_L = q\vec{B} \wedge \vec{v}$ b) $\vec{F}_L = q\vec{v} \wedge \vec{B}$
 c) $\vec{F}_L = 2q\vec{v}_0 \wedge \vec{B}$ d) $\vec{F}_L = -q\vec{v}_0 \wedge \vec{B}$

26. — Exprimer la vitesse initiale \vec{v}'_0 de la particule dans \mathcal{R}' .

- a) $\vec{v}'_0 = -\vec{v}_0$ b) $\vec{v}'_0 = \Omega\vec{v}_0$
 c) $\vec{v}'_0 = \vec{0}$ d) $\vec{v}'_0 = \vec{v}_0$

27. — On étudie le mouvement de la particule dans \mathcal{R}' . Montrer que la force d'inertie d'entraînement \vec{F}_{ie} peut s'écrire :

- a) $\vec{F}_{ie} = m\Omega^2 \overline{HM}$ b) $\vec{F}_{ie} = -m\Omega^2 \overline{HM}$ c) $\vec{F}_{ie} = -m\Omega^2 \overline{OH}$ d) $\vec{F}_{ie} = m\Omega^2 \overline{OH}$

28. — On pose $\omega_c = qB/m$ et l'on impose que $\Omega = -\omega_c/2$.

On admettra que la force de Lorentz \vec{F}'_L qui s'exerce sur M dans \mathcal{R}' a la même valeur que dans \mathcal{R} : $\vec{F}'_L = \vec{F}_L$ et l'on négligera la force de pesanteur.

Calculer la force résultante \vec{F} qui s'exerce sur la particule.

- a) $\vec{F} = -\frac{m\omega_c^2 \overline{OH}}{4}$ b) $\vec{F} = -\frac{m\omega_c^2 \overline{OM}}{2}$ c) $\vec{F} = -\frac{m\omega_c^2 \overline{OM}}{4}$ d) $\vec{F} = \frac{m\omega_c^2 \overline{OH}}{2}$

29. — Déterminer la loi horaire $x'(t)$ du mouvement suivant x' .

- a) $x'(t) = \frac{v_{0x}}{\omega_c} \sin \omega_c t$ b) $x'(t) = \frac{2v_{0x}}{\omega_c} \sin \frac{\omega_c}{2} t$
 c) $x'(t) = \frac{2v_{0x}}{\omega_c} \sin 2\omega_c t$ d) $x'(t) = \frac{v_{0x}}{2} t^2$

30. — Déterminer la loi horaire $y'(t)$ du mouvement suivant y' .

- a) $y'(t) = \frac{v_{0x}}{\omega_c} \sin \omega_c t$ b) $y'(t) = \frac{2v_{0x}}{\omega_c} \sin \frac{\omega_c}{2} t$
 c) $y'(t) = 0$ d) $y'(t) = \frac{v_{0x}}{2} t^2$

